

# بررسی اثر نیروی الکترود و زمان اعمال آن بر تنش پسماند ناشی از جوشکاری مقاومتی نقطه‌بی ورق‌های آلومینیوم

محمد صدیقی\* (دانشیار)

داده افشاری (دانشجوی دکتری)

فرشاد نظری (دانشجوی کارشناسی ارشد)

دانشکده مهندسی مکانیک، دانشگاه علم و صنعت ایران

مهمنگی مکانیک شر夫، (پیز ۱۴۹۴) دری ۳ - ۱، شماره ۲، ص. ۹۷-۱۰۱

هدف از این پژوهش بررسی اثر نیروی الکترود و زمان اعمال آن بر تنش‌های پسماند ناشی از جوشکاری مقاومتی نقطه‌بی آلیاژ T6 ۶۰۶۱-۱ است. در این مطالعه از یک مدل المان محدود مکانیکی - الکتریکی - حرارتی دو بعدی با تقارن محوری برای پیش‌بینی توزیع دما، اندازه‌ی دکمه‌ی جوش و تنش‌های پسماند استفاده شده است. نتایج به دست آمده از شیوه‌سازی با آزمایش‌های عملی که تنش‌های پسماند در آنها با استفاده از تفرق اشعه‌ی  $\times$  اندازه‌گیری شده، مقایسه شده است. مطالعات نشان می‌دهد بالاترین مقدار تنش پسماند کششی در فصل مشترک ورق‌ها و مرکز دکمه‌ی جوش رخ می‌دهد و در راستای شعاع جوش مقدار تنش‌ها کاهش می‌یابند. نتایج حاصله نشان‌گر آن است که با افزایش نیروی الکترود و زمان اعمال آن تنش‌های پسماند افزایش می‌یابند اما تأثیر زمان اعمال نیرو بر تنش‌های پسماند بیشتر از مقدار نیرو است.

sedighi@iust.ac.ir  
dafshari@iust.ac.ir  
f\_nazari@mecheng.iust.ac.ir

واژگان کلیدی: جوشکاری مقاومتی نقطه‌بی، تنش پسماند، مدل المان محدود، نیروی الکترود، زمان اعمال نیرو.

## ۱. مقدمه

مخرب، نیمه‌مخرب و غیر مخرب تقسیم می‌شود.<sup>[۲]</sup> استفاده از این روش‌ها به دلیل زمان بر بودن، نیاز به مهارت بالا و هزینه بر بودن بسیار محدود است و لذا، دست‌یابی به یک مدل المان محدود به منظور پیش‌بینی تنش‌های پسماند حائز اهمیت است. بررسی تنش پسماند در فرایند جوشکاری مقاومتی نقطه‌بی روی ورق‌های فولادی (۱۹۹۰) با استفاده از تفرق اشعه‌ی ایکس<sup>[۳]</sup> نشان داد که بیشترین مقدار تنش پسماند کششی در مرکز جوش ایجاد می‌شود و با حرکت به سمت مرزهای دکمه‌ی جوش مقدار تنش‌ها کاهش می‌یابد. با استفاده از یک مدل المان محدود حرارتی - الکتریکی - مکانیکی برای بررسی ورق آلومینیوم<sup>[۵]</sup> نشان داد که به دلیل ضخامت کم ورق تنش چندانی ملاحظه نمی‌شود؛ برای اعتبارسنجی این مدل از اندازه دکمه‌ی جوش استفاده شد. از سوی دیگر محققین با استفاده از یک مدل الکتروترمو مکانیکی برای مدل‌سازی توزیع تنش پسماند در آلومینیوم،<sup>[۶]</sup> ابتدا گرما و سپس تنش پسماند را در داخل قطعه محاسبه کردند و برای اعتبارسنجی از دکمه‌ی جوش استفاده کردند. همچنین با بررسی امکان‌سنجی استفاده از ورق پشتیبان در جوشکاری مقاومتی نقطه‌بی آلومینیوم<sup>[۷]</sup> نشان داد که می‌توان با به کارگیری این روش به دکمه‌ی جوش بزرگ‌تر با استحکام بالا با استفاده از جوشکاری پشتیبان دست یافت. نتایج حاصل از بررسی تأثیر پارامترهای جوشکاری بر دکمه‌ی جوش و استحکام آن<sup>[۸]</sup> نشان داد که با افزایش جریان و زمان جوشکاری

امروزه استفاده از مواد با چگالی پایین در صنایع مختلف مانند اتموبیل‌سازی و صنایع هواپی بسیار اهمیت پیدا کرده و به افزایش کاربرد آلیاژهای آلومینیوم انجامیده است. جوشکاری مقاومتی نقطه‌بی یکی از روش‌های پرکاربرد موتزار است که سرعت بالا و پتانسیل خوبی برای اتموسferon دارد و به همین دلیل در صنایع با تولید انبوه به خصوص خودروسازی و هوافضا کاربرد فراوانی دارد.

در این روش بر اثر عبور جریان الکتریکی با شدت بالا به دلیل مقاومت داخلی و تماسی ورق‌ها، فاز به صورت موضعی ذوب شده و در اثر اعمال فشار همزمان، پس از قطع جریان و سرد شدن، اتصال صورت گرفته و دکمه‌ی جوش شکل می‌گیرد.<sup>[۱]</sup> در روش‌های با ضخامت‌های مختلف قطر دکمه‌ی جوش متفاوت است و محدوده‌ی این آن بین  $4\sqrt{t}$  و  $5\sqrt{t}$  (t: ضخامت ورق) ارزیابی شده است.<sup>[۱]</sup> در نتیجه‌ی اعمال نیرو و ذوب موضعی در قطعه، پس از سرد شدن مقداری تنش پسماند در ناحیه‌ی جوش ایجاد می‌شود. تنش‌های پسماند از آن روی اهمیت دارند که می‌توانند تنش بیشینه‌ی قطعه را افزایش داده و سبب کاهش عمر خستگی و ایجاد ترک در قطعات شوند. روش‌های اندازه‌گیری تنش پسماند به طور کلی در سه دسته روش

\* نویسنده مسئول  
تاریخ: دریافت ۷/۱۱/۱۳۹۲، اصلاحیه ۷/۴/۱۳۹۳، پذیرش ۱۶/۴/۱۳۹۳.

جدول ۱. عناصر آلیاژی و خواص مکانیکی آلیاژ ۶۰۶۱-T6 آلمینیوم.

استحکام تسلیم Mpa	استحکام کششی Mpa	سختی Vickers	Cr %/Wt.	Cu %/Wt.	Fe %/Wt.	Mg %/Wt.	Mn %/Wt.	Si %/Wt.	Al %/Wt.
۲۷۶,۰	۳۱۰,۰	۱۰۷,۰	۰,۱	۰,۲	۰,۵	۱,۰	۰,۱	۰,۶	۹۷,۰

 جدول ۲. خواص فیزیکی آلیاژ ۶۰۶۱-T6 آلمینیوم.<sup>[۱۴]</sup>

دما kg/m <sup>3</sup> )	ضریب انبساط حرارتی (J/kg K)	رسانایی حرارتی (W/m K)	گرمای ویژه (C <sup>-۱</sup> × ۱۰ <sup>-۶</sup> )	چگالی (C)
۲۷۰,۰	۹۱۷	۱۶۲	۲۲,۴	۰
	۹۷۸	۱۷۷	۲۴,۶۱	۹۳
	۱۰۲۸	۱۹۲	۲۶,۶	۲۰,۱
	۱۰۷۸	۲۰۷	۲۷,۶	۳۱۶
	۱۱۲۳	۲۲۳	۲۹,۶	۴۲۸
	۱۲۳۰	۲۵۳	۳۴,۲	۵۷۱

 جدول ۳. خواص مکانیکی آلیاژ ۶۰۶۱-T6 آلمینیوم.<sup>[۱۵]</sup>

دما پواسن	تنشی تسلیم (GPa)	مدول یانگ (MPa)	ضریب (C)
۰,۳۳	۶۹,۷	۲۷۵	۲۵
	۶۱	۲۴۰	۱۷۷
	۵۴	۱۶۵	۲۶۰
	۴۷	۹۰	۳۱۵
	۳۸	۵۵	۳۷۰
	۱۶,۷	۳۲	۴۰۰

جدول ۴. پارامترهای انتخاب شده برای بررسی نیرو.

(Cycle) (۱Cycle=۰,۰۲S)	زمان نیرو (N)	نیرو (N)	(Cycle) (۱Cycle=۰,۰۲S)	زمان نیرو (N)	نیرو (N)
۳	۴۰۳۳	۷	۳	۳۶۰۰	۱
۴	۴۰۳۳	۸	۳	۴۰۳۳	۲
۵	۴۰۳۳	۹	۳	۴۵۰۰	۳
۶	۴۰۳۳	۱۰	۳	۵۰۰۰	۴
۷	۴۰۳۳	۱۱	۳	۵۵۰۰	۵
۸	۴۰۳۳	۱۲	۳	۶۰۰۰	۶

میانگین‌گیری از سه نمونه آزمایش شده است. پس از مقایسه نتایج با نمونه‌ی شبیه‌سازی شده و اطمینان از صحت نتایج شبیه‌سازی، برای طراحی آزمایش‌ها با استناد به استاندارد AWS حد مجاز مقدار نیرو و زمان اعمال آن برای ورق آلمینیوم ۶۰۶۱ با ضخامت ۲ mm تعیین شد که برای نمایش بهتر روند تعییرات تنش‌های پسماند، از مقادیر کم تر و بیشتر از بازه مجاز نیز استفاده شد. تمامی آزمایش‌ها در شدت جریان KA ۳۶ با فرکانس ۳۶ Hz و زمان اعمال جریان ۰,۰۸ ثانیه (چرخه ۰,۰۸ ثانیه) انجام شده و زمان خنک‌کاری ۲۵۰ ثانیه در نظر گرفته شد تا از همدمان شدن قطعه با دمای محیط و تثبیت تنش‌های پسماند در قطعات اطمینان حاصل شود.

شرح پارامترهای هر آزمایش در جدول ۴ آمده است.

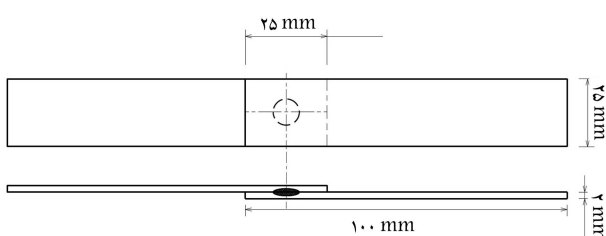
قطر دکمه‌ی جوش و استحکام آن افزایش یافته و نوع شکست از حالت داخلی به خارجی تغییر می‌کند. مطالعه‌ی تنش‌های پسماند در جوشکاری مقاومتی نقطه‌یی با استفاده از تفرق اشعه نوری [۱۰,۱۱] محققین را در ترسیم یک مدل سه‌بعدی از تنش پسماند در ورق آلمینیوم یاری رساند. آنها در پژوهشی دیگر درخصوص عمر خستگی ورق آلمینیوم ۶۰۶۱-T6 دریافتند که پارامترهای جوشکاری تأثیر بسیاری بر عمر و مدل‌های شکست خستگی در جوشکاری مقاومتی نقطه‌یی ایفا می‌کنند. بررسی ورق آلمینیوم با ضخامت ۲ mm نشان داد که با افزایش تنش پسماند کاهش جریان و زمان جوشکاری باز شکست افزایش یافته و بیشینه تنش پسماند کاهش می‌یابد.<sup>[۱۲,۱۳]</sup> براساس ریزاختر شکل‌گرفته پس از جوشکاری کمترین سختی و پیشترین تنش کششی در مرکز دکمه‌ی جوش رخ می‌دهد که در راستای شعاع دکمه‌ی جوش سختی افزایش و تنش‌های پسماند کاهش می‌یابد.

با توجه به این که مقدار نیروی الکترود و مدت زمان اعمال آن از پارامترهای مهم در جوشکاری مقاومتی نقطه‌یی است می‌توان مشاهده کرد که تاکنون در بررسی‌های انجام شده روی آلمینیوم این پارامترها بررسی نشده‌اند. در این مطالعه با استفاده از یک مدل الکتریکی - حرارتی - مکانیکی در نرم افزار ANSYS ۱۲,۱ تأثیر پارامترهای نیرو الکترود و مدت زمان اعمال آن بر تنش‌های پسماند روی ورق آلمینیوم ۶۰۶۱-T6 با ضخامت ۲ mm بررسی شده است.

## ۲. شرایط آزمایش

برای بررسی تأثیر نیرو بر تنش‌های پسماند، نمونه‌هایی از ورق آلمینیوم ۶۰۶۱-T6 با ضخامت ۲ mm و ابعاد ۲۵ × ۲ × ۲ mm مورد استفاده قرار گرفته است (شکل ۱). اطلاعات مربوط به عناصر آلیاژی و خواص فیزیکی و مکانیکی این آلیاژ در جداول ۱ تا ۳ آمده است.

دستگاه جوشکاری مورد استفاده NIMAK Mدل PMP11DGS بوده و آزمایش براساس پارامترهای پیشنهادی توسط AWS طراحی شده است. ابتدا سطح نمونه‌ها با استفاده از کاغذ سنباده کاملاً تمیز شده و آزمایش با شدت جریان KA ۳۶ در چرخه ۰,۰۸ ثانیه) و نیروی ۴۰۳۳ N روی نمونه‌هایی با ضخامت ۲ mm انجام، و روی ۳ نمونه تکرار شده است. اندازه‌ی دکمه‌ی جوش بهوسیله‌ی متالوگرافی اندازه‌گیری، و سپس با استفاده از روش تفرق اشعه ایکس تنش‌های پسماند آن بررسی شده است. اندازه‌ی تنش‌های پسماندگزارش شده براساس



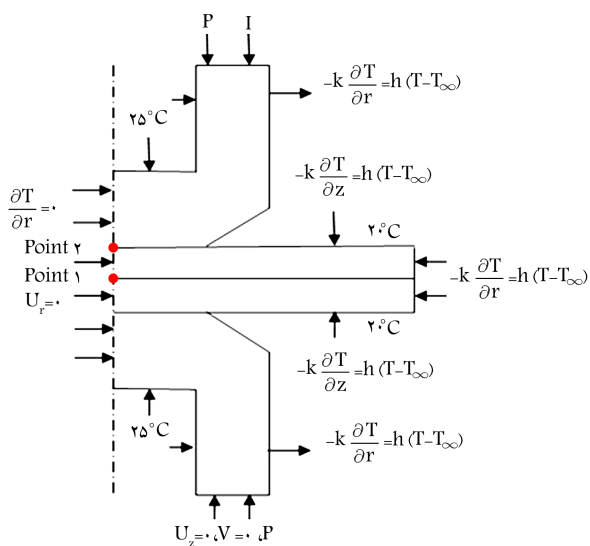
شکل ۱. ابعاد نمونه‌ی آزمایش.

### ۳. شرایط مرزی و معادلات حاکم بر فرایند

در این پژوهش از مدل دو بعدی متقارن محوری، کوپل شده به صورت الکتریکی حرارتی - مکانیکی استفاده شده است که می تواند تاریخچه های حرارتی، اندازه دکمه هی جوش و تنش های پسماند را شبیه سازی کند. الگوی عملکرد این مدل در شکل ۲ به صورت شماتیک بیان شده است.

در ابتدای کار نیروی فشاری به الکتروودها اعمال شده و سپس جریان الکتریکی سینوسی با فرکانس  $5\text{ Hz}$  در الکترود بالا برقرار می شود. ولتاژ الکتریکی صفر به الکترود پایین نسبت داده شده است. محیط جانبی الکتروودها و ورق در انتقال حرارت با هوای  $20^\circ\text{C}$  درجه هستند و از جریان آب با دمای  $25^\circ\text{C}$  درجه برای خنک کردن الکتروودها استفاده شده است. شرایط مرزی حاکم بر محیط های مکانیکی، الکتریکی و حرارتی به طور کامل در شکل ۳ بیان شده است.

در قسمت تحلیل مکانیکی مدل المان محدود، از المان PLANE42 و در تعریف سطوح تماس از المان های TARGE169 و CONTA171 استفاده شده است. چنان که در شکل ۲ مشاهده می شود، الگوریتم مورد استفاده در مدل المان



شکل ۳. شرایط مرزی حاکم بر محیط های مکانیکی، الکتریکی و حرارتی و موقعیت نقاط مورد بررسی.

محدود نیز دارای چرخه هی تکرار است. حل مدل المان محدود در بازه های زمانی مختلف با توجه به ویژگی ها و دقت مورد نیاز در هر مرحله انجام شده است. زمان بی روز رسانی در مرحله ای اعمال جریان الکتریکی معادل  $100\text{ m}\text{s}^{-1}$  ثانیه، در مرحله ای قطع جریان و اعمال نیرو معادل  $1\text{ N}\text{m}^{-1}$  ثانیه، در زمان بار برداری و جدا شدن الکتروودها معادل  $0.01\text{ s}$  ثانیه، و در زمان خنک کاری معادل  $1\text{ s}$  ثانیه است؛ هر چرخه خود به  $10^\circ\text{C}$  زیرحلقه ای کوچک تر تقسیم می شود. تعداد کل چرخه ها براساس پارامترهای حل متفاوت است که به طور متوسط شامل ۷۱۷ مرحله به روزرسانی و  $7170^\circ\text{C}$  زیرحلقه حل است.

معادلات استفاده شده در این مدل، دو بعدی و در مختصات استوانه ای است. رابطه  $1$  معادله حاکم بر پتانسیل الکتریکی است که در آن  $r$  فاصله ای شعاعی،  $z$  فاصله در راستای محور دستگاه استوانه ای،  $\sigma$  هدايت الکتریکی است. حل معادله نشان گر توزیع پتانسیل الکتریکی  $\varphi$  در مدل است.

$$\frac{\partial}{\partial r} \left( \sigma \frac{\partial \varphi}{\partial r} \right) + \frac{\sigma}{r} \frac{\partial \varphi}{\partial r} + \frac{\partial}{\partial z} \left( \frac{\partial \varphi}{\partial z} \right) = 0 \quad (1)$$

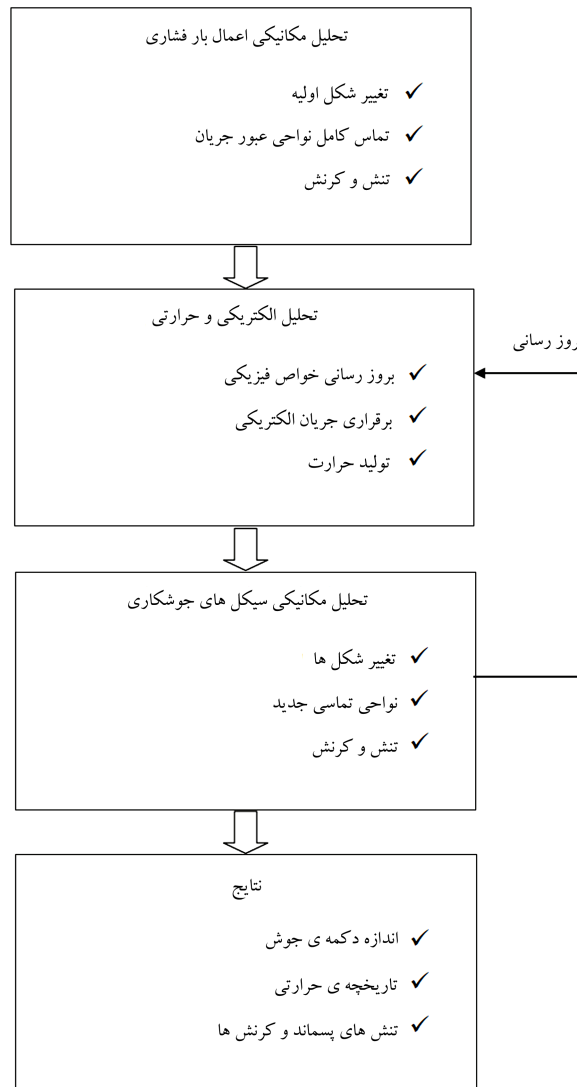
مدل حرارتی شامل بررسی دینامیکی دما در نتیجه های تغییرات جریان الکتریکی و تولید گرما در مدل و انتقال حرارت از طریق رسانایی و همرفت است و توسط معادله های  $2$  و  $3$  بیان شده است:

$$q = \frac{\varphi^t t}{R} \quad (2)$$

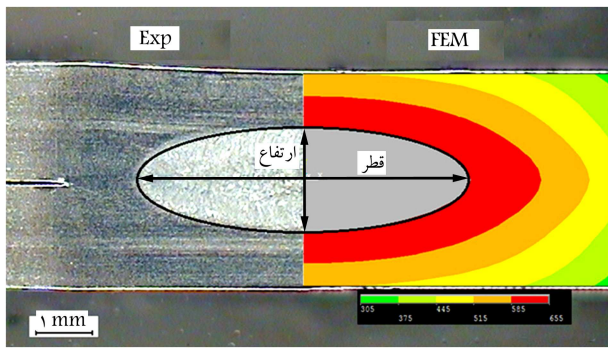
$$\frac{\partial}{\partial r} \left( k \frac{\partial T}{\partial r} \right) + \frac{k}{r} \left( \frac{\partial T}{\partial r} \right) + \frac{\partial}{\partial z} \left( \frac{\partial T}{\partial z} \right) + q = \rho c \frac{\partial T}{\partial t} \quad (3)$$

که در آن  $q$  حرارت تولید شده در اثر پتانسیل الکتریکی،  $R$  مقاومت ماده،  $\rho$  چگالی،  $C$  ظرفیت گرمایی و  $k$  هدايت حرارتی است که وابسته به دما هستند. در این روابط  $T$  توزیع دما و  $t$  زمان را بیان می کنند. برای محاسبه های تنش و کرنش نیز از معادله  $4$  استفاده شده که یک رابطه ماتریسی است و در آن  $H$  ماتریس سختی،  $\phi$  بردار جابه جایی و  $f$  بردار نیرو را معرفی می کنند.

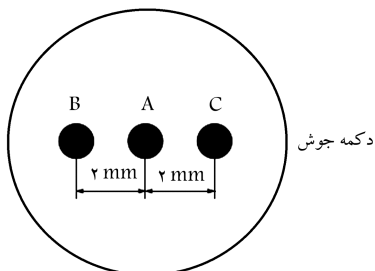
$$H \cdot \phi + f = 0 \quad (4)$$



شکل ۲. نمودار الگوریتم حل مدل.



شکل ۴. مقایسه اندازه و شکل دکمه‌ی جوش شبیه‌سازی شده با نمونه‌ی متالوگرافی.



شکل ۵. مختصات نقاط مورد بررسی در تنش پسماند.

جدول ۵. مقایسه‌ی دکمه‌ی جوش در مدل المان محدود و آزمایش تجربی.

شبیه‌سازی	تجربی	درصد خطأ
قطر دکمه‌ی جوش (mm)	۶/۳	۵/۷
ارتفاع دکمه‌ی جوش (mm)	۳/۴	۲/۰ ۳

جدول ۶. مقایسه‌ی تنش‌های پسماند در مدل المان محدود و آزمایش تجربی.

شبیه‌سازی	تجربی	درصد خطأ
نقطه‌ی A (MPa)	۳۸/۴	۴/۱۰
فاصله ۲ میلی‌متری از مرکز جوش	۱۱/۸	۷۷/۸

## ۵. نتایج

در مراحل اولیه‌ی اعمال جریان، حوضچه‌ی جوش و مناطق مجاور آن براثر افزایش دما تمایل به انبساط دارند اما مناطق دیگر ورق که افزایش دمای زیادی نداشته‌اند از انبساط ممکن‌گردید و درنتیجه موجب ایجاد تنش فشاری در ناحیه‌ی جوش‌سکاری می‌شوند. نیروی فشاری الکترود نیز مزید بر علت می‌شود و این تنش را افزایش می‌دهد. با قطع جریان و سرد شدن دکمه‌ی جوش، این فرایند بر عکس شده و باعث می‌شود که در ناحیه‌ی جوش تنش‌های کششی و در نواحی مجاور و سطح ورق تنش‌های فشاری ایجاد شود. در شکل ۶ توضیحات بیان شده برای نقاط ۱ و ۲ که در شکل ۳ مشخص شده‌اند، نمایش داده است.

بیشترین تنش پسماند در مرکز دکمه‌ی جوش رخ می‌دهد که با دور شدن از مرکز دکمه کاهش می‌یابد و با نزد تولید حرارت رابطه‌ی مستقیم دارد. با فاصله گرفتن از مرکز دکمه‌ی جوش نزد تولید حرارت کاهش می‌یابد که باعث می‌شود در هنگام سرد شدن نیز تنش‌های پسماند کم‌تری تولید شود (شکل ۷).

چنان که در شکل ۸ مشاهده می‌شود افزایش نیرو و زمان اعمال بار هر دو

انتقال گرما به روش رسانش بین سطوح در تماس با استفاده از رابطه‌ی ۵ تعریف شده که در آن  $q$  گرمای منتقل شده بین سطوح در تماس،  $TCC$  ضریب رسانایی حرارتی، و  $T_t$  و  $T_c$  دمای نقاط سطوح در تماس‌اند.

$$q = TCC \times (T_t - T_c) \quad (5)$$

برای تعریف ضریب رسانایی حرارتی ( $TCC$ ) از رابطه‌ی ۶ استفاده شده است که در آن  $k_s$  رسانایی حرارتی سطوح،  $m$  شیب ناهمواری‌ها،  $\sigma$  کیفیت سطوح تماس،  $P$  فشار وارد بر سطح، و  $E'$  مدول کشسان معادل است.<sup>[۱۶]</sup>

$$TCC = \frac{\sigma h_c}{m k_s} = ۱,۵۴ \left( \frac{\sqrt{2} P}{m E'} \right)^{۰,۹۴} \quad (6)$$

خواص الکتریکی برای دو سطح در تماس با استفاده از رابطه‌ی ۷ تعریف شده است که در آن  $J$  چگالی جریان الکتریکی،  $ECC$  ضریب رسانایی الکتریکی، و  $V_t$  پتانسیل الکتریکی در نقاط سطوح در تماس‌اند.

$$J = ECC \times (V_t - V_c) \quad (7)$$

برای تعریف  $ECC$  از روابط ۸ و ۹ استفاده شده که در آنها  $R$  و  $\rho$  مقاومت الکتریکی،  $l$  طول المان‌ها،  $A_c$  مساحت ناحیه‌ی تماس و  $\sigma_{y,ave}$  تنفس تسلیم میانگین است.<sup>[۱۷]</sup>

$$R(T) = \rho(T) \frac{l}{A_c} = R(20^{\circ}\text{C}) \sqrt{\frac{\sigma_{y,ave}(T^{\circ}\text{C})}{\sigma_{y,ave}(20^{\circ}\text{C})}} \quad (8)$$

$$ECC = \frac{1}{R(T^{\circ}\text{C})} \quad (9)$$

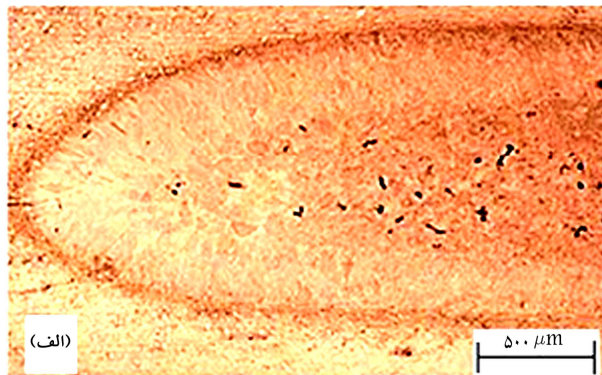
همچنین جریان سینوسی با استفاده از رابطه‌ی ۱۰ تعریف شده که در این معادلات  $I_m$  مقدار بیشینه جریان بر حسب آمپر،  $f$  فرکانس بر حسب هرتز (Hz) و  $t$  زمان بر حسب ثانیه است.

$$I = I_m \sin(2\pi ft) \quad (10)$$

## ۴. اعتبارسنجی مدل

جهت اعتبارسنجی مدل المان محدود، نتایج استخراج شده از این مدل با نتایج بدست آمده از تست‌های آزمشگاهی مقایسه شده‌اند. اعتبارسنجی در دو مرحله انجام گرفته است. ابتدا اندازه‌ی دکمه‌ی جوش مقایسه شده و سپس نتایج به دست آمده از تنش‌های پسماند مورد بررسی قرار گرفته است. برای تعیین قطر دکمه‌ی جوش نمونه‌ها متابولوگرافی شده و دکمه اندازه‌گیری شده است. یکی از دلایل وجود خطأ، همان تأثیر خواص فیزیکی و استهله به دمات است؛ همچنین روابط مورد استفاده برای محاسبه‌ی مقاومت‌ها و رسانایی‌الکتریکی و حرارتی سطوح تماس حفاظه‌ای را در مدل وارد کرده‌اند که اجتناب ناپذیر بوده است. شکل ۴ مقایسه‌ی هندسی دکمه‌ی جوش شبیه‌سازی شده و نمونه‌ی متابولوگرافی شده را نشان می‌دهد که نتایج آن در جدول ۵ بیان شده است.

برای بررسی تنش‌های پسماند از دستگاه SEIFERT مدل XRD3000 PTS استفاده شده است، به این صورت که ۳ نقطه از سطح نمونه‌ها مطابق شکل ۵ در منطقه جوش انتخاب شده و تنش در این مناطق اندازه‌گیری شده است و سپس در هر نقطه بین تنش‌های به دست آمده از نمونه‌ها، میانگین‌گیری انجام شده است.<sup>[۱۸]</sup> نتایج حاصل از مقایسه‌ی مدل المان محدود و نمونه‌ی آزمایشگاهی در جدول ۶ آمده است.



(الف) نمای نیزی از دکمه جوش و فلز پایه؛

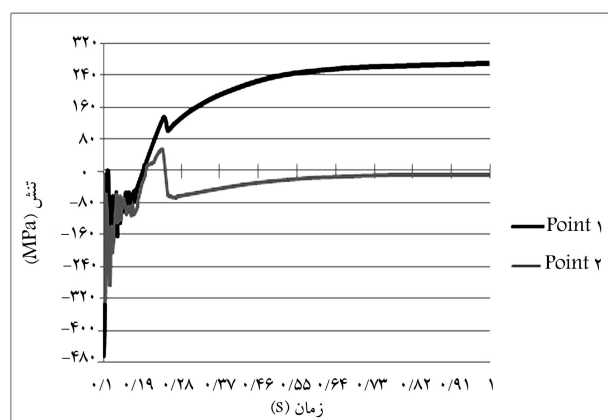


(ب) دکمه‌ی جوش در نواحی مرزی دارای ساختار دندانیتی ستونی است و با رفتن به سمت مرکز دکمه‌ی جوش ساختار به حالت سلولی تغییر می‌کند.

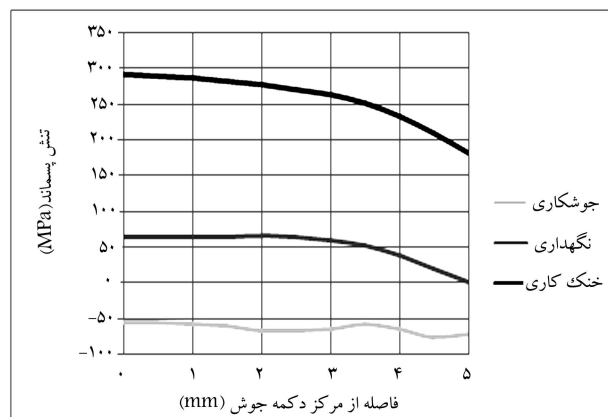
شکل ۹. ریز ساختار دکمه‌ی جوش.

برابر  $316 \text{ MPa}$  بوده است. در زمان اعمال نیروی ثابت (۳ چرخه) افزایش نیرو از  $4033 \text{ N}$  تا  $6000 \text{ N}$  نیوتن، ابتدا باعث افزایش تنش فشاری می‌شود اما پس از باربرداری، بخش زیادی از تنش‌های فشاری کاهش می‌یابد. همچنین در این مرحله چون ورق‌ها فقط از طریق تماس با هوا خنک می‌شوند نزد انتقال حرارت کم است که باعث می‌شود بخشی از تنش‌ها تعدیل شوند. بهمین دلیل بیشترین مقدار تنش پسماند در نیروی  $N = 6000$  و زمان نگهداری ۳ چرخه برابر  $296 \text{ MPa}$  بوده که از بیشته تنش پسماند با نیروی  $N = 4033 \text{ N}$  و زمان نگهداری ۸ چرخه ( $316 \text{ MPa}$ ) کمتر است.

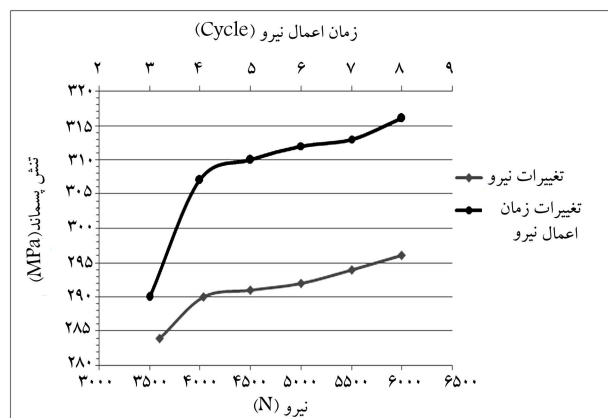
از نظر ریزساختاری با افزایش نیرو نوعی عملیات فورج روی دکمه‌ی جوش انجام می‌شود که باعث می‌شود حفره‌ها و عیوب در جوش کاهش یابد و در نتیجه استحکام دکمه‌ی جوش افزایش یابد.<sup>[۱۹]</sup> پس افزایش نیرو تا حد بهینه می‌تواند باعث افزایش کیفیت جوش شود، اما با توجه به شکل ۹ افزایش زمان اعمال نیرو سبب می‌شود با فراش سرعت سرد شدن وسعت ساختارهای دندانیتی ستونی در دکمه‌ی جوش افزایش یابد و در نتیجه استحکام و تمرکز تنش در دکمه‌ی جوش کاهش می‌یابد.



شکل ۶. روند تغییرات تنش در مرکز و سطح ورق.



شکل ۷. روند تغییرات تنش پسماند در سطح مشترک دو ورق در راستای شعاع دکمه‌ی جوش.



شکل ۸. تغییرات تنش‌های پسماند در نتیجه افزایش نیروی الکترود و زمان اعمال آن.

باعث افزایش تنش‌های پسماند اما افزایش زمان اعمال نیرو تأثیر بیشتری در افزایش تنش‌های پسماند دارد. در نیروی ثابت ( $4033 \text{ N}$ ) با افزایش زمان اعمال نیرو از ۳ تا ۸ دوره، چون الکترودهای مسی با ورق مدت بیشتری در تماس هستند و نزد انتقال حرارت مس زیاد است، و نیز از آنجا که الکترودها از درون بهوسیله‌ی جریان آب خنک می‌شوند، تأثیرهای جوش به سرعت سرد می‌شود و همین سبب افزایش تنش‌های پسماند می‌شود؛ بیشترین مقدار تنش پسماند در زمان ۸ چرخه و

## ۶. نتیجه‌گیری

در این مطالعه اثر نیروی الکترود و زمان اعمال آن بر تنش‌های پسماند ناشی از جوشکاری مقاومتی نقطه‌یی آلیز  $T_6 = 6061\text{-T}6$  آلمینیوم مورد بررسی قرار گرفت. بدین منظور از یک مدل المان محدود مکانیکی - الکتریکی - حرارتی برای پیش‌بینی توزیع دما و تنش‌های پسماند طی مراحل جوشکاری مقاومتی نقطه‌یی و روش تفرق

- اشعه ایکس برای اندازه‌گیری تنش‌های پسماند استفاده شده است. نتایج حاصله از این مطالعه نشان می‌دهد که:
۱. تنش‌های پسماند در دکمه‌ی جوش و اطراف آن کششی و در نواحی دوربر و سطح قطعه فشاری است.
  ۲. تنش‌های پسماند در ناحیه‌ی مرکزی دکمه‌ی جوش بیشینه است و با حرکت در راستای طول قطعه کاهش می‌یابد.

## منابع (References)

1. Neville, T.W., *Resistance Spot Welding*, In ASM Handbook Welding, Brazing and Soldering, Joseph R. Davis et al, Ed., 10th Edn. (6), pp. 226-230, ASM International, Materials Park, OH (1993).
2. Han, L., Thornton, M., Boomer, D. and Shergold, M. "A correlation study of mechanical strength of resistance spot welding of AA5754 aluminium alloy", *J. Materials Processing Technology*, **211**, pp. 513-521 (2011).
3. Walton, H.W. *Deflection Methods to Estimate Residual Stress*, In ASM Handbook Residual Stress and Deformation of Steel, G. Totten, M. Hawes and T. Inoue, Ed., pp. 99-118, ASM International, Materials Park, OH (2002).
4. Aanastassiou, M., Babbitt, M. and Lebrun, J.U. "Residual stresses and microstructure distribution in spot-welded steel sheets: Relation with fatigue behaviour", *Materials Science and Engineering A*, **125**, pp. 141-156 (1990).
5. Sun, X. and Dong, P. "Analysis of aluminium resistance spot welding processes using coupled finite element procedure", *J. Welding*, **79**, pp. 215-221 (2000).
6. Long, X. and Khanna, S.K. "Residual stresses in spot welded new generation aluminium alloys part B-finite element simulation of residual stresses in a spot welded in 5754 aluminium alloy", *J. Science and Technology of Welding and Joining*, **10**(1), pp. 88-94 (2005).
7. Ranfeng, Q., Chihiro, I. and Shinobu, S. "Interfacial microstructure and strength of steel/aluminum alloy joints welded by resistance spot welding with cover plate", *J. Materials Processing Technology*, **209**, pp. 4186-4193 (2009).
8. Pereira, A.M., Ferreira, J.M., Loureiro, A., Costa, J.D.M. and Brtolo, P.J. "Effect of process parameters on the strength of resistance spot welds in 6082-T6 aluminium alloy", *J. Materials and Design*, **31**, pp. 2454-2463 (2010).
9. Florea, R.S., Hubbard, C.R., Solanki, K.N., Bammann, D.J., Whittington, W.R. and Marin, E.B. "Quantifying residual stresses in resistance spot welding of 6061-T6 aluminum alloy sheets via neutron diffraction measurements", *J. Materials Processing Technology*, **212**, pp. 2358-2370 (2012).
10. Florea, R.S., Bammann, D.J., Yeldell, A., Solanki, K.N. and Hammi, Y. "Welding parameters influence on fatigue life and microstructure in resistance spot welding of 6061-T6 aluminum alloy", *J. Materials and Design*, **45**, pp. 456-465 (2013).
11. Afshari, D., Sedighi, M., Barsoum, Z. and Peng, R.L. "An approach in prediction of failure in resistance spot welded aluminum 6061-T6 under quasi-static tensile test", *Proc IMechE Part B: J. Engineering Manufacture*, **226**(6), pp. 1026-1032 (2012).
12. Afshari, D., Sedighi, M., Karimi, M.R. and Barsoum, Z. "On residual stresses in resistance spot welded aluminum alloy 6061-T6: Experimental and numerical analysis", *J. Materials Engineering and Performance*, **22**(12), pp.3612-3619 (2013).
13. American Welding Society, *Recommended Practices for Resistance Welding*, AWS C1.1M/C1.1:2000, Miami, FL (2003).
14. Chao, Y. and Qi, X. "Thermal and thermo-mechanical modeling of friction stir welding of aluminium alloy 6061-T6", *J. Materials Processing Technology*, **7**, pp. 215-233 (1998).
15. Hirsch, J., Skrotzkiand, B. and Gottstein, G., *Aluminum Alloys: Their Physical and Mechanical Properties*, Weinheim Wiley-veh (2008).
16. Rohsenow, W.M., Hartnettand, J.R. and Cho, Y.I., *Handbook of Heat Transfer*, 3rd ed., McGraw-hill, New York (1998).
17. Tsai, C.L., Dia, W.L., Dickinson, D.W. and Papritan, J.C. "Analysis and development of real-time control methodology in resistance spot welding", *J. Weld.*, **69**, pp. 339-351 (1991).
18. Sedighi, M. and Nazemnezhad, R. "Analysis of the effect of diffraction peak positioning method on residual stress measurement, using the standard XRD technique", *J. Aerospace Mechanics*, **7**(2), pp. 73-88 (1390), In Persian.
19. Hongxin, S., Ranfeng, Q., Jinhong, Z., Keke, Z., Hua, Y. and Gaojian, D. "Effects of welding parameters on the characteristics of magnesium alloy joint welded by resistance spot welding with cover plates", *J. Materials and Design*, **31**, pp. 4853-4857 (2010).